

Электрон-фононное увлечение в вырожденных проводниках в магнитном поле

© И.Г. Кулеев

Институт физики металлов Уральского отделения Российской академии наук,
620219 Екатеринбург, Россия

E-mail: kuleev@imp.uran.ru

(Поступила в Редакцию 21 мая 1999 г.)

Рассмотрено взаимное увлечение электронов и фононов в вырожденных проводниках в классических магнитных полях. Показано, что система кинетических уравнений для неравновесных электронной и фононной функций распределения может быть преобразована к системе неоднородных интегральных уравнений Вольтерра. Найдено решение системы интегральных уравнений с учетом всех членов, вносящих вклады, линейные по параметру вырождения. Проанализировано влияние магнитного поля на релаксацию импульса в электрон-фононной системе.

Электрон-фононное взаимодействие в твердых телах кроме процессов рассеяния приводит к взаимному влиянию неравновесностей электронной и фононной подсистем, вызванных либо электрическим полем, либо градиентом температуры [1–12]. Если электроны и фононы рассеиваются главным образом друг на друге, то теория возмущений по взаимному влиянию неравновесностей подсистем неприменима, и возникает необходимость решения сложной системы интегральных уравнений для электронной и фононной функций распределения [9,10]. Точное решение этой системы до сих пор не найдено. Итерационная схема решения системы интегральных уравнений позволяет рассмотреть лишь случай слабого взаимного увлечения [11,12]. Приближенные решения системы кинетических уравнений для вырожденных проводников в классических магнитных полях с учетом взаимного увлечения электронов и фононов найдены только в нулевом приближении по параметру вырождения [7,8]. Однако развитая в [7,8] теория не может быть использована для анализа термомагнитных и термоэлектрических эффектов, поскольку в этом приближении диффузионные потоки, как и эффекты Нернста–Эттингсгаузена, обращаются в нуль. Термомагнитные эффекты являются гораздо более тонким индикатором механизма рассеяния носителей тока, чем подвижность [1,13]. При смене доминирующего механизма рассеяния подвижность носителей тока меняется только по величине, тогда как термомагнитные эффекты могут менять свой знак. Поэтому термомагнитные эффекты могут оказаться более чувствительными к эффектам взаимного увлечения электронов и фононов, чем подвижность.

В данной работе воспользуемся методом решения системы кинетических уравнений для неравновесных электрон-фононных систем с изотропным спектром носителей тока, развитым в [14], и обобщим его на случай наличия магнитного поля. При этом будет использовано лишь условие сильного вырождения $k_B T / \zeta \ll 1$ (ζ — энергия Ферми), а неупругость электрон-фононного рассеяния будет учтена в первом порядке теории возмущений. В разделе 1

система кинетических уравнений для неравновесных электрон-фононных систем преобразована в систему неоднородных интегральных уравнений Вольтерра для неравновесной добавки к функции распределения электронов. В разделе 2 эта система решена с учетом всех членов, вносящих вклады, линейные по параметру вырождения. В разделе 3 проанализировано влияние взаимного увлечения на гальваномагнитные явления.

1. Система кинетических уравнений для электрон-фононной системы в магнитном поле

Проанализируем баланс импульса и взаимное влияние неравновесности электронов и фононов в магнитном поле. Система кинетических уравнений для неравновесных электронной $f(\mathbf{k}, \mathbf{r})$ и фононной $N^\lambda(\mathbf{q}, \mathbf{r})$ функций распределения имеет вид [3,7]

$$\mathbf{v}_k \nabla_{\mathbf{r}} f_{\mathbf{k}} + \frac{e}{\hbar} \left(\mathbf{E}_0 + \frac{1}{c} [\mathbf{v}_k \times \mathbf{H}] \right) \nabla_{\mathbf{k}} f(\mathbf{k}, \mathbf{r}) = I_{ei}(f_{\mathbf{k}}) + I_{eph}(f_{\mathbf{k}}, N_{\mathbf{q}}^\lambda),$$

$$\mathbf{v}_q^\lambda \nabla_{\mathbf{r}} N_{\mathbf{q}}^\lambda = -(N_{\mathbf{q}}^\lambda - N_{\mathbf{q}}^{(0)}) \nu_{ph}^{(1)\lambda} + I_{phe}(N_{\mathbf{q}}^\lambda, f_{\mathbf{k}}). \quad (1)$$

Здесь $\mathbf{v}_k = \frac{1}{\hbar} \frac{\partial \varepsilon_{\mathbf{k}}}{\partial \mathbf{k}}$, $\mathbf{v}_q^\lambda = \frac{\partial \omega_q^\lambda}{\partial \mathbf{q}}$ — групповая скорость фононов, $N_{q\lambda}^{(0)}$ — функция Планка. Частота релаксации $\nu_{ph}^{(1)\lambda}(q)$ включает все неэлектронные механизмы рассеяния фононов: рассеяние фононов на фононах, дефектах и границах образца. Интегралы столкновений электронов с примесями I_{ei} , фононами I_{eph} и фононов с электронами I_{phe} определены в [3,6,7,14].

Представим функции распределения электронов и фононов в виде

$$f_{\mathbf{k}} = f_0(\varepsilon_{\mathbf{k}}) + \delta f_{\mathbf{k}}, \quad N_{\mathbf{q}}^\lambda = N_{q\lambda}^0 + g_\lambda(\mathbf{q}), \quad (2)$$

где $f_0(\varepsilon_{\mathbf{k}})$ и $N_{q\lambda}^0$ — локально равновесные функции распределения для электронов и фононов, а $\delta f_{\mathbf{k}}$ и

$g_\lambda(\mathbf{q})$ — неравновесные добавки к функциям распределения, линейные по внешним воздействиям. Линеаризуем интегралы столкновений по этим добавкам. Интегралы столкновений $I_{ie}(\delta f_{\mathbf{k}})$, $I_{phe}(f_0, g_\lambda(\mathbf{q}))$, а также $I_{eph}(\delta f_{\mathbf{k}}, N_{q\lambda}^0)$ в приближении упругого рассеяния представим через частоты релаксации [7,8,14]. При расчете интеграла столкновений $I_{eph}(f_0, g_\lambda(\mathbf{q}))$ учтем неупругость столкновений электронов с фононами в первом порядке по параметру неупругости $\hbar\omega_{q\lambda}/\zeta$. После этого уравнение для фононной функции распределения представим в виде [14]

$$g_\lambda(\mathbf{q}) = -\frac{N_{q\lambda}^0(N_{q\lambda}^0 + 1)}{\nu_{ph}^\lambda(q)} \frac{\hbar\omega_{q\lambda}}{k_B T} (\mathbf{v}_q^\lambda \nabla T) + \frac{1}{\nu_{ph}^\lambda} I_{phe}(\delta f_{\mathbf{k}}, N_{q\lambda}^0) = g_\lambda^{(1)}(\mathbf{q}) + g_\lambda^{(2)}(\mathbf{q}), \quad (3)$$

где $\nu_{ph}^\lambda = \nu_{ph}^{(1)\lambda} + \nu_{phe}^\lambda$ — полная частота релаксации фононов с волновым вектором \mathbf{q} и поляризацией λ , а $\nu_{phe}^\lambda(k_F, q)$ — частота релаксации импульса фононов на электронах [7,14]. Функция $g_\lambda^{(1)}(\mathbf{q})$ обусловлена непосредственным действием градиента температуры на фононную подсистему, а добавка $g_\lambda^{(2)}(\mathbf{q})$ учитывает влияние неравновесности электронов

$$g_\lambda^{(2)}(\mathbf{q}) = \frac{1}{\nu_{ph}^\lambda(\mathbf{q})} I_{phe}(\delta f_{\mathbf{k}}, N_{q\lambda}^0) = \frac{4\pi}{\hbar} \frac{|C_{q\lambda}|^2}{\nu_{ph}^\lambda(\mathbf{q})} \frac{\hbar\omega_{q\lambda}}{k_B T} N_{q\lambda}^0 (N_{q\lambda}^0 + 1) \frac{1}{V} \sum_{\mathbf{k}'} \delta f_{\mathbf{k}'} \times [\delta(\varepsilon_{\mathbf{k}'-\mathbf{q}} - \varepsilon_{\mathbf{k}'}) - \delta(\varepsilon_{\mathbf{k}'+\mathbf{q}} - \varepsilon_{\mathbf{k}'})], \quad (4)$$

$|C_q^\lambda|^2 = E_{0\lambda}^2 \hbar q / s_\lambda \rho = C_{0\lambda}^2 q$, ρ — плотность кристалла, $E_{0\lambda}$ — константа деформационного потенциала, s_λ — скорость звука.

Учитывая выражения (3) и (4), получим замкнутое интегральное уравнение для неравновесной добавки к функции распределения электронов

$$\delta f_{\mathbf{k}} = \delta f_{\mathbf{k}}^{(1)} + \frac{e\tau(\varepsilon_{\mathbf{k}})}{\hbar c} ([\mathbf{v}_{\mathbf{k}} \times \mathbf{H}] \nabla_{\mathbf{k}}) \delta f_{\mathbf{k}} + \delta f_{\mathbf{k}}^{(2)}. \quad (5)$$

Функция $\delta f_{\mathbf{k}}^{(1)}$ учитывает непосредственное действие электрического поля и градиента температуры на электронную подсистему, а также эффект увлечения электронов фононами. Она имеет известный вид [3]

$$\delta f_{\mathbf{k}}^{(1)} = \left(-\frac{\partial f_0}{\partial \varepsilon_{\mathbf{k}}} \right) (\mathbf{v}_{\mathbf{k}} \chi_1(\varepsilon_{\mathbf{k}}));$$

$$\chi_1(\varepsilon_{\mathbf{k}}) = -e\tau(\varepsilon_{\mathbf{k}})$$

$$\times \left(\mathbf{E} + \frac{k_B}{e} \left(\frac{(\tilde{m}(\varepsilon))^2}{\tilde{k}^3} A_{ph}(\varepsilon) + \frac{\varepsilon_{\mathbf{k}} - \zeta}{k_B T} \right) \nabla T \right),$$

$$A_{ph}(\varepsilon) = \sum_{\lambda} \frac{m_F s_\lambda^2}{k_B T} \left\langle \frac{\nu_{eph}^\lambda(k_F, q)}{\nu_{ph}^\lambda(q)} \right\rangle_{z_{2k}^\lambda} \equiv \sum_{\lambda} \frac{m_F s_\lambda^2}{k_B T} \int_0^{z_{2k}^\lambda} dz_q^\lambda \frac{\nu_{eph}^\lambda(k_F, q)}{\nu_{ph}^\lambda(q)},$$

$$z_q^\lambda = \frac{\hbar\omega_{q\lambda}}{k_B T} = \frac{q}{q_T^\lambda}, \quad q_T^\lambda = \frac{k_B T}{\hbar s_\lambda},$$

$$z_{2k}^\lambda = \frac{2k}{q_T^\lambda}, \quad \tilde{m}(\varepsilon) = \frac{m(\varepsilon)}{m_F}, \quad m_F = m(\zeta) \quad (6)$$

— эффективная масса электрона на уровне Ферми, $\tilde{k} = k/k_F$, $\hbar k_F$ — фермиевский импульс. Здесь $\tau(\varepsilon)$ — полное время релаксации электронов, $\tau^{-1}(\varepsilon_{\mathbf{k}}) = \nu_e(\mathbf{k}) = \nu_{ei}(\mathbf{k}) + \nu_{eph}(\mathbf{k})$, $\nu_{ei}(\mathbf{k})$ и $\nu_{eph}(\mathbf{k})$ — частоты релаксации электронов на примесях и на фононах, а функция $A_{ph}(\varepsilon)$ зависит от энергии ε только через верхний предел интегрирования $2k(\varepsilon)$. Добавка $\delta f_{\mathbf{k}}^{(2)}$ учитывает влияние неравновесности электронов через фононы на функцию распределения электронов

$$\delta f_{\mathbf{k}}^{(2)} = \tau(\varepsilon_{\mathbf{k}}) I_{eph}(f_0, g_\lambda^{(2)}) = \left(\frac{2\pi}{\hbar} \right)^2 \frac{2}{V} \tau(\varepsilon_{\mathbf{k}}) \times \sum_{\mathbf{k}', \mathbf{q}, \lambda} \frac{|C_{q\lambda}|^4}{\nu_{ph}^\lambda(q)} \frac{(\hbar\omega_q)^2}{k_B T} N_{q\lambda}^0 (N_{q\lambda}^0 + 1) \times \frac{\partial f_0}{\partial \varepsilon_{\mathbf{k}}} [\delta(\varepsilon_{\mathbf{k}+\mathbf{q}} - \varepsilon_{\mathbf{k}}) - \delta(\varepsilon_{\mathbf{k}-\mathbf{q}} - \varepsilon_{\mathbf{k}})] \times \delta f_{\mathbf{k}'} [\delta(\varepsilon_{\mathbf{k}'-\mathbf{q}} - \varepsilon_{\mathbf{k}'}) - \delta(\varepsilon_{\mathbf{k}'+\mathbf{q}} - \varepsilon_{\mathbf{k}'})]. \quad (7)$$

Вычисление электронных потоков с помощью функции $\delta f_{\mathbf{k}}^{(1)}$ позволяет определить кинетические коэффициенты и проанализировать термомагнитные и термоэлектрические эффекты в рамках стандартной теории электрон-фононного увлечения [3]. В этом случае соотношения симметрии Онзагера для кинетических коэффициентов (см. [9,10]) не выполняются. Поэтому при решении системы кинетических уравнений необходимо принять во внимание члены $\delta f_{\mathbf{k}}^{(2)}$ и $g_\lambda^{(2)}(\mathbf{q})$, учитывающие взаимное влияние неравновесности электронов и фононов.

Для решения кинетического уравнения (5) представим функции $\delta f_{\mathbf{k}}$ и $\delta f_{\mathbf{k}}^{(2)}$ в виде

$$\delta f_{\mathbf{k}} = \left(-\frac{\partial f_0}{\partial \varepsilon_{\mathbf{k}}} \right) (\mathbf{v}_{\mathbf{k}} \chi(\varepsilon)),$$

$$\delta f_{\mathbf{k}}^{(2)} = \left(-\frac{\partial f_0}{\partial \varepsilon_{\mathbf{k}}} \right) (\mathbf{v}_{\mathbf{k}} \chi^{(2)}(\varepsilon)) \quad (8)$$

и получим уравнение для функции $\chi(\varepsilon)$

$$\chi(\varepsilon) = \chi^{(1)}(\varepsilon) + \gamma(\varepsilon) [\mathbf{h} \times \chi(\varepsilon)] + \chi^{(2)}(\varepsilon),$$

$$\mathbf{h} = \mathbf{H}/H, \quad (9)$$

где $\gamma(\varepsilon) = \Omega(\varepsilon)\tau(\varepsilon)$, $\Omega(\varepsilon) = eH/m(\varepsilon)c$ — циклотронная частота.

Для нахождения функции $\chi^{(2)}(\varepsilon)$ воспользуемся выражением (7) и возьмем интеграл по угловым переменным $d\Omega_{k'}$ и $d\Omega_q$ при помощи δ -функций, учитывающих закон сохранения энергии. Тогда интегральный член $\chi^{(2)}(\varepsilon)$ в принятых нами обозначениях может быть записан в виде

$$\begin{aligned} \chi^{(2)}(\varepsilon) &= \frac{\tilde{m}^2(\varepsilon)\tau(\varepsilon)}{\tilde{k}^3} \mathbf{Q}(\varepsilon) \\ &= \frac{\tilde{m}^2(\varepsilon)\tau(\varepsilon)}{\tilde{k}^3} \sum_{\lambda} \int_0^{z_{2k}^{\lambda}} dz_q^{\lambda} \frac{\nu_{phe}^{\lambda}(k_F, q)\nu_{eph}^{\lambda}(k_F, q)}{\nu_{ph}^{\lambda}(q)} \\ &\quad \times \int_{\varepsilon_{q/2}}^{\infty} d\varepsilon' \left(-\frac{\partial f_0}{\partial \varepsilon'} \right) \tilde{m}(\varepsilon') \chi(\varepsilon'). \end{aligned} \quad (10)$$

Интегральное уравнение (9)–(10) решалось в работах [11,12] для невырожденного электронного газа и в работах [5,7,8,10] для вырожденных проводников. Ядро этого интегрального уравнения имеет сложный вид: неизвестная функция $\chi(\varepsilon)$ входит под двойной интеграл и для его решения необходимо конкретизировать зависимости частот релаксации от волнового вектора фононов [7]. Поэтому преобразуем его следующим образом [14]. Учитывая неравенства $q/2 < k$ и $q/2 < k'$, разобьем область интегрирования по k' на две части — $k' < k$ ($q/2 < k' < k$) и $k < k'$ ($q/2 < k < k'$) — и поменяем порядок интегрирования по волновым векторам q и k' . В результате уравнение для функции $\chi(\varepsilon)$ может быть представлено в виде системы неоднородных интегральных уравнений Вольтерра для компонент вектора $\chi(\varepsilon)$

$$\chi(\varepsilon) = \chi_1(\varepsilon) + \gamma(\varepsilon) [\mathbf{h} \times \chi(\varepsilon)] + \frac{\tilde{m}^2(\varepsilon)\tau(\varepsilon)}{\tilde{k}^3} \mathbf{Q}(\varepsilon),$$

$$\begin{aligned} \mathbf{Q}(\varepsilon) &= \Phi(\varepsilon) \int_{\varepsilon}^{\infty} d\varepsilon' \left(-\frac{\partial f_0}{\partial \varepsilon'} \right) \tilde{m}(\varepsilon') \chi(\varepsilon') \\ &\quad + \int_0^{\varepsilon} d\varepsilon' \left(-\frac{\partial f_0}{\partial \varepsilon'} \right) \tilde{m}(\varepsilon') \Phi(\varepsilon') \chi(\varepsilon') \\ &= \Phi(\varepsilon) \mathbf{K}^>(\varepsilon) + \mathbf{K}^<(\varepsilon), \\ \Phi(\varepsilon) &= \sum_{\lambda} \left\langle \frac{\nu_{phe}^{\lambda}(k_F, q)\nu_{eph}^{\lambda}(k_F, q)}{\nu_{ph}^{\lambda}(q)} \right\rangle_{z_{2k}^{\lambda}}, \end{aligned} \quad (11)$$

где $\Phi(\varepsilon)$ зависит от энергии ε через верхний предел интегрирования z_{2k}^{λ} . Обратная величина $\Phi(\varepsilon)^{-1}$ характеризует время, в течение которого импульс, переданный электронами в фононную подсистему, возвращается обратно электронам.

Неравновесная добавка к функции распределения фононов $g_{\lambda}^{(2)}(\mathbf{q})$ может быть выражена через функцию $\chi(\varepsilon)$

следующим образом:

$$\begin{aligned} g_{\lambda}^{(2)}(\mathbf{q}) &= -\frac{\nu_{phe}(q)}{\nu_{ph}^{\lambda}(q)} \frac{N_{q\lambda}^0 (N_{q\lambda}^0 + 1)}{k_B T} \\ &\quad \times \int_{\varepsilon_{q/2}}^{\infty} d\varepsilon \left(\frac{\partial f_0(\varepsilon)}{\partial \varepsilon} \right) \tilde{m}(\varepsilon) (\hbar \mathbf{q} \chi(\varepsilon)). \end{aligned} \quad (12)$$

Интегральное уравнение (11) проще, нежели уравнение (9)–(10), исследованное ранее в работах [7–12], и позволяет построить регулярную схему расчета функции $\chi(\varepsilon)$, не прибегая к разложению по малому параметру, связанному со слабостью электрон-фононного взаимодействия или малостью эффекта взаимного влияния неравновесности электронов и фононов. Далее будет показано, что это уравнение можно решить, используя лишь условие сильного вырождения $k_B T / \zeta \ll 1$.

2. Решение кинетического уравнения для электронов

Используя стандартный способ [3] преобразования члена, зависящего от магнитного поля в уравнении (11), получим

$$\begin{aligned} \chi(\varepsilon) &= \chi_{1H}(\varepsilon) + \frac{\tilde{m}^2(\varepsilon)\tau\varepsilon}{\tilde{k}^3(1 + \gamma^2(\varepsilon))} \mathbf{Q}_H(\varepsilon), \\ \mathbf{Q}_H(\varepsilon) &= \mathbf{Q}(\varepsilon) + \gamma(\varepsilon) [\mathbf{h} \times \mathbf{Q}(\varepsilon)], \end{aligned} \quad (13)$$

$$\chi_{1H}(\varepsilon) = \{ \chi_1(\varepsilon) + \gamma(\varepsilon) [\mathbf{h} \times \chi_1(\varepsilon)] \} (1 + \gamma^2(\varepsilon))^{-1}. \quad (14)$$

Решение интегрального уравнения (13) удобнее искать не для функции $\chi(\varepsilon)$, а для $\mathbf{Q}(\varepsilon)$. Воспользовавшись формулами (11) и (13), найдем

$$\begin{aligned} \mathbf{Q}(\varepsilon) &= \int_0^{\varepsilon} d\varepsilon' \left(-\frac{\partial f_0}{\partial \varepsilon'} \right) \Phi(\varepsilon') \tilde{m}(\varepsilon') \chi(\varepsilon') \\ &\quad + \Phi(\varepsilon) \int_{\varepsilon}^{\infty} d\varepsilon' \left(-\frac{\partial f_0}{\partial \varepsilon'} \right) \tilde{m}(\varepsilon') \chi(\varepsilon'). \end{aligned} \quad (15)$$

Решение уравнения (15) в линейном приближении по параметру вырождения $(k_B T) / \zeta$ находится в два этапа. Вначале определим зависимость функции $\mathbf{Q}(\varepsilon)$ от энергии ε . Для этого разложим функцию $\mathbf{Q}(\varepsilon)$ в ряд по параметру $(\varepsilon - \zeta)$, поскольку производная функции Ферми $(-\partial f_0 / \partial \varepsilon)$ ограничивает интервал интегрирования (15) областью теплового размытия уровня Ферми

$$\begin{aligned} \mathbf{Q}(\varepsilon) &= \mathbf{Q}(\zeta) + \sum_{n=1}^{\infty} \frac{(\varepsilon - \zeta)^n}{n!} \mathbf{Q}^{(n)}(\zeta), \\ \mathbf{Q}^{(n)}(\zeta) &= \left(\frac{d^n \mathbf{Q}(\varepsilon)}{d\varepsilon^n} \right)_{\varepsilon=\zeta}. \end{aligned} \quad (16)$$

Используя интегральное уравнение (15), запишем выражения для первых двух производных $\mathbf{Q}(\varepsilon)$ по энергии

$$\mathbf{Q}^{(1)}(\varepsilon) = \Phi^{(1)}(\varepsilon)\mathbf{K}^>(\varepsilon),$$

$$\mathbf{K}^>(\varepsilon) = \int_{\varepsilon}^{\infty} d\varepsilon' \left(-\frac{\partial f_0}{\partial \varepsilon'} \right) \tilde{m}(\varepsilon') \chi(\varepsilon'),$$

$$\mathbf{Q}^{(2)}(\varepsilon) = \Phi^{(2)}(\varepsilon)\mathbf{K}^>(\varepsilon) - \Phi^{(1)}(\varepsilon) \left(-\frac{\partial f_0}{\partial \varepsilon} \right) \tilde{m}(\varepsilon) \chi(\varepsilon). \quad (17)$$

Очевидно, что интегральное уравнение (15) для $\mathbf{Q}(\varepsilon)$ эквивалентно системе неоднородных дифференциальных уравнений второго порядка для компонент вектора $\mathbf{Q}(\varepsilon)$

$$\begin{aligned} \mathbf{Q}^{(2)}(\varepsilon) &= \frac{\Phi^{(2)}(\varepsilon)}{\Phi^{(1)}(\varepsilon)} \mathbf{Q}^{(1)}(\varepsilon) - \Phi^{(1)}(\varepsilon) \left(-\frac{\partial f_0}{\partial \varepsilon} \right) \\ &\times \left[\tilde{m}(\varepsilon) \chi_{1H}(\varepsilon) + \left(\frac{\tilde{m}(\varepsilon)}{\tilde{k}(\varepsilon)} \right)^3 \psi(\varepsilon) \mathbf{Q}_H(\varepsilon) \right], \\ \psi(\varepsilon) &= \tau(\varepsilon) (1 + \gamma^2(\varepsilon))^{-1}. \end{aligned} \quad (18)$$

Для решения этого уравнения необходимо в явном виде выделить зависимость функций $\Phi(\varepsilon)$, $\tau(\varepsilon)$ и $m(\varepsilon)$ от энергии электрона ε . В данной работе ставится более узкая задача: не конкретизируя этих зависимостей, найти решение уравнения (17) в линейном приближении по параметру вырождения. Из уравнений (17) и (18) следует, что все высшие производные $\mathbf{Q}^{(n)}(\varepsilon)$ могут быть выражены через две векторные функции: $\mathbf{K}^>(\varepsilon)$ и $\mathbf{Q}(\varepsilon)$. Проанализируем производные функции $\mathbf{Q}^{(n)}(\zeta)$ и выделим в них члены, вносящие вклад, линейный по параметру $(k_B T/\zeta)$. Тогда для производных функций $\mathbf{Q}^{(n)}(\zeta)$ при $n \geq 2$ найдем

$$\begin{aligned} \mathbf{Q}^{(n)}(\zeta) &= -\Phi^{(1)}(\zeta) \left\{ \left[-\frac{\partial^{n-1} f_0}{\partial \varepsilon^{n-1}} \right]_{\varepsilon=\zeta} \chi(\zeta) \right. \\ &\quad \left. + \frac{n-2}{k_B T} \left[-\frac{\partial^{n-2} f_0}{\partial \varepsilon^{n-2}} \right]_{\varepsilon=\zeta} \tau_F \mathbf{B} \right\}, \\ \mathbf{B} &= -k_B \{ \nabla T + \gamma_F [\mathbf{h} \times \nabla T] \}, \\ \gamma_F &= \gamma(\zeta) = \Omega(\zeta) \tau(\zeta). \end{aligned} \quad (19)$$

Подстановка выражений (17) и (19) в (16) дает

$$\begin{aligned} \mathbf{Q}(\varepsilon) &= \mathbf{Q}(\zeta) + k_B T \Phi^{(1)}(\zeta) \left\{ \mathbf{K}^>(\zeta) \eta \right. \\ &\quad \left. - \sum_{n=1}^{\infty} \left(-\frac{\partial^n f_0(\eta)}{\partial \eta^n} \right)_{\eta=0} \left[\frac{\eta^{n+1}}{(n+1)!} \chi(\zeta) + \frac{n\eta^{n+2}}{(n+2)!} \tau_F \mathbf{B} \right] \right\}, \end{aligned} \quad (20)$$

где $\mathbf{K}^>(\zeta) = \int_{\zeta}^{\infty} d\varepsilon' \left(-\frac{\partial f_0}{\partial \varepsilon'} \right) \tilde{m}(\varepsilon') \chi(\varepsilon')$, а $\eta = (\varepsilon - \zeta)/k_B T$ является фактическим параметром энергетического разложения. В окрестности энергии Ферми строгое неравенство $|\eta| \ll 1$ не выполняется, поэтому при суммировании рядов (20) нельзя ограничиться конечным числом

членов. Суммирование бесконечных рядов приводит к результату

$$\begin{aligned} \mathbf{Q}(\varepsilon) &= \mathbf{Q}(\zeta) + k_B T \Phi^{(1)}(\zeta) \\ &\times \{ \eta \mathbf{K}^>(\zeta) - f_1(\eta) \chi(\zeta) - f_2(\eta) \tau_F \mathbf{B} \}, \end{aligned} \quad (21)$$

где $f_1(\eta) = \ln(1 + \exp(-\eta)) - \ln(2) + \eta/2$, $f_2(\eta) = \eta f_1(\eta) - 2 \int_0^{\eta} d\eta' f_1(\eta')$. Итак, найдена зависимость функции

$\mathbf{Q}(\varepsilon)$ от энергии ε и четырех констант— компонент векторов $\mathbf{Q}(\zeta)$ и $\mathbf{K}^>(\zeta)$, которые подлежат определению. Отметим, что функция $f_1(\eta)$ симметрична относительно замены η на $(-\eta)$, а функция $f_2(\eta)$ — антисимметрична относительно такой замены, поэтому $\mathbf{Q}(\varepsilon)$ также может быть разделена на две части: симметричную $\mathbf{Q}_s(\varepsilon)$ и антисимметричную $\mathbf{Q}_a(\varepsilon)$

$$\begin{aligned} \mathbf{Q}_s(\varepsilon) &= \mathbf{Q}(\zeta) - (k_B T) \Phi^{(1)}(\zeta) f_1(\eta) \chi(\zeta), \\ \mathbf{Q}_a(\varepsilon) &= k_B T \Phi^{(1)}(\zeta) [\eta \mathbf{K}^>(\zeta) - f_2(\eta) \tau_F \mathbf{B}]. \end{aligned} \quad (22)$$

Симметричная часть $\mathbf{Q}_s(\varepsilon)$ вносит вклад в поток заряда, а антисимметричная $\mathbf{Q}_a(\varepsilon)$ — в поток тепла.

Таким образом, для решения интегрального уравнения (15) нам осталось определить функции $\mathbf{Q}(\zeta)$ и $\mathbf{K}^>(\zeta)$. Воспользуемся разложением $\Phi(\varepsilon) - \Phi(\zeta) \approx (\varepsilon - \zeta) \times \Phi^{(1)}(\zeta)$ и перепишем уравнение (15) в следующем виде:

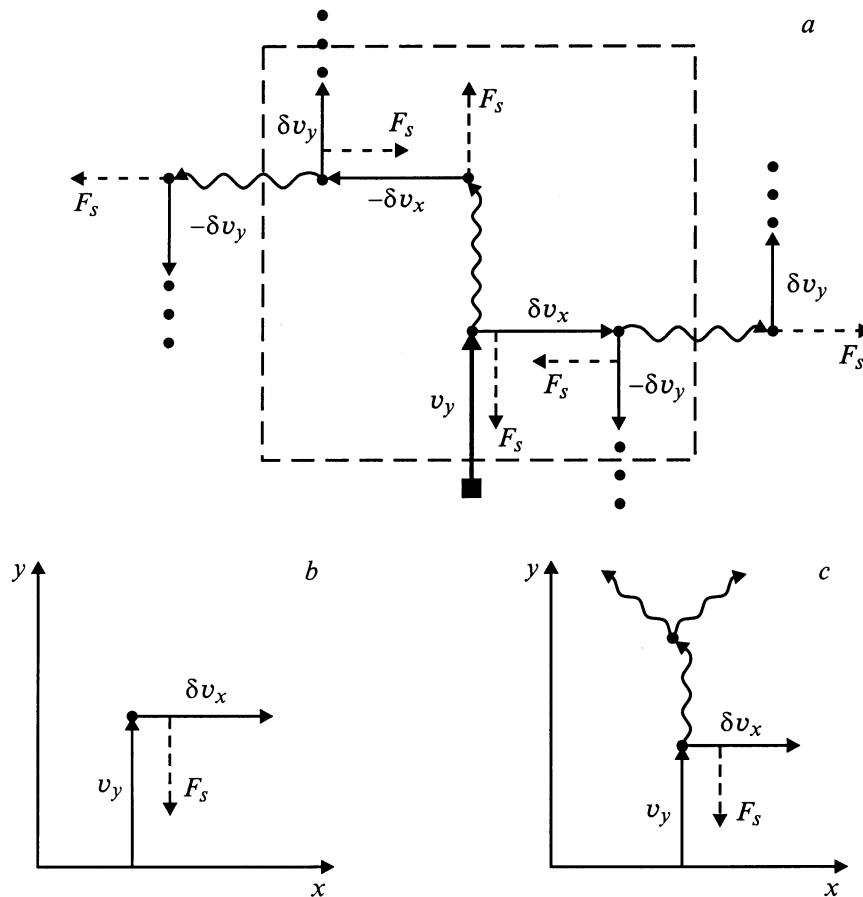
$$\begin{aligned} \mathbf{Q}(\zeta) &= \int_{-\infty}^{\infty} d\eta \left(-\frac{\partial f_0}{\partial \eta} \right) \Phi(\varepsilon) \tilde{m}(\varepsilon) \chi(\varepsilon) \\ &\quad - \Phi(\zeta) D_{\Phi} \int_0^{\infty} d\eta \left(-\frac{\partial f_0}{\partial \eta} \right) \eta \tilde{m}(\varepsilon) \chi(\varepsilon), \end{aligned} \quad (23)$$

где $\varepsilon = \zeta + \eta k_B T$, а $D_{\Phi} = \left(\frac{k_B T}{\zeta} \right) \zeta \frac{d}{d\varepsilon} [\ln(\Phi(\varepsilon))]_{\varepsilon=\zeta}$.

В нулевом порядке по параметру вырождения вторым слагаемым в (23) можно пренебречь, и тогда решение векторного уравнения для $\mathbf{Q}_0(\zeta)$ находится просто

$$\begin{aligned} \mathbf{Q}_0(\zeta) &= \frac{-e\Gamma_H}{(1 + \gamma_{T0}^2)(1 - \Gamma_H)^2} \{ \mathbf{E}_A(1 - \Gamma) + \gamma_F [\mathbf{h} \times \mathbf{E}_A] \}, \\ \mathbf{E}_A &= \mathbf{E} + \frac{k_B}{e} A_{ph}(\zeta) \nabla T, \end{aligned} \quad (24)$$

где $\Gamma_H = \Gamma(1 + \gamma_F^2)^{-1}$, $\gamma_{T0} = \Gamma_H \gamma_F (1 - \Gamma_H)^{-1} = \Gamma \gamma_F (1 - \Gamma + \gamma_F^2)^{-1} = \Omega \tau_{\Gamma}$. Параметр $\Gamma = \tau_F \Phi(\zeta)$ характеризует степень взаимного влияния неравновесности электронов и фононов в отсутствие магнитного поля. Он равен отношению времени свободного пробега электрона к времени, в течение которого импульс, переданный электронами фононам, возвращается обратно в электронную систему. В магнитном поле взаимное влияние неравновесности электронов и фононов характеризуется параметром Γ_H . Очевидно, что с ростом магнитного поля роль взаимного увлечения уменьшается, и



Схема, иллюстрирующая влияние магнитного поля на релаксацию импульса электрона: в электрон-фононной системе (a), при электрон-примесном рассеянии (b), при совместном действии электрон-фононного и фонон-фононного рассеяния (c). F_s — эффективная сила, действующая на электрон в момент столкновения.

при $\gamma_F \gg 1$ эффектом взаимного увлечения можно пренебречь. Как видно из формулы (24), возникает новый параметр $\gamma_{\Gamma 0}$, который учитывает влияние магнитного поля на обмен импульсами между электронной и фононной подсистемами. В отличие от параметра γ_F параметр $\gamma_{\Gamma 0}$ немонотонным образом зависит от магнитного поля: $\gamma_{\Gamma 0} \rightarrow 0$ при $H \rightarrow 0$ и ∞ и достигает максимального значения $\gamma_{\Gamma 0 \max} = \Gamma(1 - \Gamma)^{-1/2}/2$ в магнитном поле, определяемом из условия $\gamma_{F \max} = (1 - \Gamma)^{1/2}$. Поскольку $\gamma_{F \max} \leq 1$, следует ожидать особенностей в зависимостях кинетических коэффициентов от магнитного поля, связанных с эффектом взаимного увлечения, в слабых магнитных полях, когда параметр $\gamma_F < 1$. Величина τ_{Γ} определяется разностью времен свободного пробега с сохранением импульса и временем свободного пробега электрона

$$\tau_{\Gamma} = \tau_F(1 - \Gamma_H)^{-1} - \tau_F. \quad (25)$$

Рассмотрим простой пример, иллюстрирующий влияние магнитного поля на релаксацию импульса в электрон-фононной системе (см. рисунок). В скрещенных электрическом $\mathbf{E} = (E, 0, 0)$ и магнитном $\mathbf{H} = (0, 0, H)$ полях в отсутствие рассеяния электрон

дрейфует вдоль оси Y со скоростью $u = cE/H$. Как видно из рисунка, столкновение электрона с примесями (b) и однократное столкновение электрона с фононом (c) приводит к появлению столкновительного тока вдоль оси X . Из схемы рисунка(a) явствует, что два последовательных столкновения, при которых электрон, движущийся вдоль оси Y , вначале передает свой импульс фонону, а затем фонон возвращает этот импульс обратно в электронную подсистему, не приводят к появлению столкновительного тока j_x . Поэтому дрейфовое движение электрона вдоль оси Y сохраняется, как и при полном отсутствии рассеяния. Таким образом, в изолированной электрон-фононной системе время свободного пробега электрона конечно и определяется частотой электрон-фононных столкновений. Однако время свободного пробега с сохранением импульса равно бесконечности. Аналитические расчеты, проведенные далее, подтверждают физическую картину влияния магнитного поля на обмен импульса в электрон-фононной системе, приведенную на рисунке.

В нулевом порядке по вырождению величина $\chi_0(\zeta)$ и соответственно кинетические коэффициенты становятся независимыми от параметра $\nu_{\Gamma 0}$, а полностью выражаются через перенормированное время релаксации

электронов

$$\chi_0(\zeta) = -\frac{e\tilde{\tau}_F}{(1 + \tilde{\gamma}_F^2)} \{ \mathbf{E}_A + \tilde{\gamma}_F [\mathbf{h} \times \mathbf{E}_A] \}, \quad (26)$$

где $\tilde{\gamma}_F = \Omega\tilde{\tau}_F$. Решение (26) соответствует приближению, принятому в работах [7,8]. Нетрудно убедиться, что $\tilde{\tau}_F = \tau_F(1 - \Gamma)^{-1}$,

$$\tilde{\nu}_e = \tilde{\tau}_F^{-1} = \nu_{ei} + \tilde{\nu}_{eph},$$

$$\tilde{\nu}_{eph} = \sum_{\lambda} \left\langle \nu_{eph}^{\lambda}(k_F, q) \left(1 - \frac{\nu_{phe}^{\lambda}(q)}{\nu_{ph}^{\lambda}(q)} \right) \right\rangle_{z_{2k_F}^{\lambda}}. \quad (27)$$

Как видно из (27), взаимный обмен импульсами между электронной и фоновой подсистемами приводит к уменьшению эффективной частоты релаксации электронов на фонах $\tilde{\nu}_{eph}$. Эта перенормировка может быть существенной, если для актуальных волновых векторов фононов доля импульса фононов, передаваемая в электронную подсистему и пропорциональная отношению $\nu_{phe}^{\lambda}(q)/\nu_{ph}^{\lambda}(q)$, будет не слишком мала. В нулевом приближении по вырождению электронного газа наши результаты отличаются от результатов работ [7,8] только разделением вкладов продольных и поперечных фононов во времена релаксации и более строгим усреднением частот релаксации, входящих в параметр взаимного увлечения Γ . Учет взаимного увлечения электронов и фононов в этом приближении, как и было получено ранее в [7], сводится к тому, что в компонентах тензора электропроводности необходимо заменить τ_F на $\tilde{\tau}_F$. Интересно заметить, что в пределе полного увлечения $\Gamma \rightarrow 1$ величина $\tilde{\tau}_F \rightarrow \infty$, в отсутствие магнитного поля $\sigma_{xx} \rightarrow \infty$, а в магнитном поле компоненты тензора электропроводности $\sigma_{xx} \rightarrow 0$ и $\sigma_{yx} \rightarrow enc/H$. При этом электроны будут дрейфовать в направлении перпендикулярном электрическому и магнитному полям, со скоростью $u = cE/H$, как и при полном отсутствии рассеяния. Это связано с тем, что ток увлечения, пропорциональный неравновесной добавке к функции распределения электронов $\delta f_k^{(2)}$, имеет направление, противоположное току, обусловленному функцией $\delta f_k^{(1)}$, и при $\Gamma \rightarrow 1$ полностью компенсирует его. В этом приближении диффузионный ток равен нулю, термоэдс определяется фоновой компонентой $\alpha = -\frac{k_B}{e} A_{ph}$, а продольный и поперечный коэффициенты Нернста-Эттингсгаузена равны нулю. Очевидно, что нулевого приближения по вырождению недостаточно для анализа термоэлектрических и термомагнитных эффектов с учетом электрон-фононного увлечения.

Для нахождения функций $\mathbf{Q}(\zeta)$ в первом порядке по параметру вырождения подставим (14) и (21) в (23) и выполним интегрирование по η . В результате получим

векторное уравнение, решение которого имеет вид

$$\mathbf{Q}(\zeta) = \frac{-e\Gamma_H}{(1 + \gamma_{F0}^2)(1 - \Gamma_H)} \{ \mathbf{E}_{1Q}(1 - \Gamma) + \gamma_F [\mathbf{h} \times \mathbf{E}_{2Q}] \}, \quad (28)$$

где эффективные поля \mathbf{E}_{nQ} выражаются следующим образом:

$$\mathbf{E}_{nQ} = \mathbf{E}_A \beta_{nQ} + \mathbf{E}_{nT},$$

$$\beta_{1Q} = \frac{1}{(1 - \Gamma_H)} \left[1 - \Gamma - \frac{D_{\Phi}}{((1 - \Gamma)^2 + \gamma_F^2)} \right] \times \left[[(1 - \Gamma)^2 + \gamma_F^2(1 - 2\Gamma)] \ln(2) + J_1 \Gamma [(1 - \Gamma)^2 - \gamma_F^2] \right],$$

$$\beta_{2Q} = \frac{1}{(1 - \Gamma_H)} \left[1 - \frac{D_{\Phi}}{((1 - \Gamma)^2 + \gamma_F^2)} \right] \times \left[(1 - \Gamma^2 + \gamma_F^2) \ln(2) + 2J_1 \Gamma (1 - \Gamma) \right],$$

$$J_1 = \int_{-\infty}^{\infty} d\eta \left(-\frac{\partial f_0}{\partial \eta} \right) f_1(\eta) \cong 0.3,$$

$$\mathbf{E}_{1T} = \frac{\pi^2}{3} \frac{k_B}{e} \left\{ D_1 - \frac{\gamma_F^2 \Gamma_H}{1 - \Gamma_H} D_2 \right\} \nabla T,$$

$$\mathbf{E}_{2T} = \frac{\pi^2}{3} \frac{k_B}{e} \left\{ D_2 + \frac{\Gamma_H}{1 - \Gamma_H} D_1 \right\} \nabla T,$$

$$D_2 = k_B T \frac{d}{d\varepsilon} \left[\ln \left(m(\varepsilon) \psi(\varepsilon) \gamma(\varepsilon) \Phi^{1/2}(\varepsilon) \right) \right]_{\varepsilon=\zeta},$$

$$D_1 = k_B T \frac{d}{d\varepsilon} \left[\ln \left(m(\varepsilon) \psi(\varepsilon) \Phi^{1/2}(\varepsilon) \right) \right]_{\varepsilon=\zeta}. \quad (29)$$

В нулевом порядке по параметру вырождения для функции $\mathbf{K}^>(\zeta)$ имеем

$$\mathbf{K}_0^>(\zeta) = -\frac{e\psi_F}{2} \left\{ \frac{(1 + \gamma_F^2)}{\gamma_F^2 + (1 - \Gamma)^2} [\mathbf{E}_A(1 - \Gamma) + \gamma_F [\mathbf{h} \times \mathbf{E}_A]] - \frac{k_B}{e} 2 \ln 2 \mathbf{B} \right\}. \quad (30)$$

Подставив выражения (28)–(30) в (13) и (21), получим решение интегрального уравнения для функции $\chi(\varepsilon)$, справедливое в линейном приближении по параметру вырождения. Это решение позволяет вычислить ток проводимости, электронный и фононный потоки тепла и проанализировать зависимость кинетических коэффициентов от магнитного поля и температуры как в случае слабого ($\Gamma \ll 1$), так и в случае сильного ($\Gamma \rightarrow 1$) взаимного увлечения электронов и фононов. В предельном случае $H \rightarrow 0$ получаем выражение для $\chi(\varepsilon)$, найденное в [14] в отсутствие магнитного поля.

3. Влияние взаимного увлечения на гальваномангнитные явления

Для вычисления тока проводимости разделим его на две части, пропорциональные неравновесным добавкам к функции распределения электронов $\delta f_{\mathbf{k}}^{(1)}$ и $\delta f_{\mathbf{k}}^{(2)}$. Тогда для проводников с изотропным законом дисперсии носителей тока получим [3]

$$\mathbf{j} = -\frac{en}{m_F} \int d\varepsilon \left(-\frac{\partial f_0}{\partial \varepsilon} \right) \frac{(\tilde{k}(\varepsilon))^3}{\tilde{m}(\varepsilon)} (\chi_{1H} + \chi_{2H}) = \mathbf{j}_1 + \mathbf{j}_2. \quad (31)$$

Использование формул (13), (22) и (28)–(30) позволяет вычислить ток \mathbf{j}_2 , обусловленный взаимным увлечением электронов и фононов. После громоздких, но несложных вычислений получим

$$\mathbf{j}_2 = \frac{\sigma_0 \Gamma}{(1-\Gamma)^2 + \gamma_F^2} \left\{ \left[\frac{1-\Gamma-\gamma_F^2}{1+\gamma_F^2} - \frac{C_1 D_{\Phi}(1-\tilde{\gamma}_F^2)}{1+\tilde{\gamma}_F^2} \right] \mathbf{E} + \gamma_F \left[\frac{2-\Gamma}{1+\tilde{\gamma}_F^2} - \frac{2C_1 D_{\Phi}}{(1-\Gamma)(1+\tilde{\gamma}_F^2)} \right] [\mathbf{h} \times \mathbf{E}] \right\}, \quad (32)$$

где $\sigma_0 = \frac{e^2 n \tau_F}{m_F}$, $C_1 = \ln(2) + J_1$. При $H = 0$ из (32) получаем соответствующее выражение работы [14]. В линейном приближении по $k_B T / \zeta$ для полного тока \mathbf{j} имеем

$$\mathbf{j} = \sigma_{xx} \mathbf{E} + \sigma_{yx} [\mathbf{h} \times \mathbf{E}]. \quad (33)$$

Здесь

$$\sigma_{xx} = \frac{\tilde{\sigma}_0}{1+\tilde{\gamma}_F^2} \left\{ 1 - \frac{C_1 \Gamma D_{\Phi}(1-\tilde{\gamma}_F^2)}{(1-\Gamma)(1+\tilde{\gamma}_F^2)} \right\},$$

$$\sigma_{yx} = \frac{\tilde{\sigma}_0 \tilde{\gamma}_F}{1+\tilde{\gamma}_F^2} \left\{ 1 - \frac{2C_1 \Gamma D_{\Phi}}{(1-\Gamma)(1+\tilde{\gamma}_F^2)} \right\},$$

$$\tilde{\sigma}_0 = \sigma_0 \tilde{\tau} / \tau. \quad (34)$$

При $H \rightarrow 0$ выражение для σ_{xx} совпадает с результатом, полученным в [14]. Как уже отмечалось, в нулевом приближении по вырождению результат учета взаимного увлечения в компонентах тензора проводимости сводится к замене τ_F на $\tilde{\tau}_F = \tau_F / (1-\Gamma)$. Линейная по параметру $k_B T / \zeta$ добавка может быть существенна в случае сильного увлечения, когда $1-\Gamma \ll 1$. Из (34) находим выражения для поперечного магнетосопротивления и коэффициента Холла

$$\rho_{\perp} = \tilde{\rho}_0 \left\{ 1 + \frac{C_1 \Gamma D_{\Phi}}{1-\Gamma} \right\}, \quad \rho_0 = \tilde{\sigma}_0^{-1}, \quad R_H = -\frac{1}{e c n_e}. \quad (35)$$

Как видно из (35), строгое решение системы кинетических уравнений для электрон-фононной системы в линейном приближении по параметру вырождения в отличие от [8] не приводит к появлению в ρ_{\perp} членов, зависящих от магнитного поля. Учет взаимного увлечения не оказывает никакого влияния на коэффициент

Холла. Как уже отмечалось при обсуждении рисунка, это связано с особенностью влияния магнитного поля на обмен импульса в электрон-фононной системе. Выражение для ρ_{\perp} совпадает с результатом, полученным в [14] в отсутствие магнитного поля.

Итак, рассмотрено взаимное влияние неравновесности электронов и фононов в вырожденных проводниках в классических магнитных полях. Найдено решение системы кинетических уравнений для электрон-фононной системы в линейном приближении по параметру вырождения. Проанализировано влияние магнитного поля на релаксацию импульса в электрон-фононной системе. Вычислены поперечное магнетосопротивление и коэффициент Холла. Показано, что учет взаимного увлечения не приводит к зависимости этих величин от магнитного поля. Полученные в работе результаты позволяют исследовать термомагнитные и термоэлектрические эффекты в вырожденных проводниках. В дальнейшем будет рассмотрено влияние взаимного увлечения электронов и фононов на продольный и поперечный эффекты Нернста–Эттингсгаузена.

Автор выражает благодарность И.Ю. Араповой за полезные замечания и помощь в оформлении рукописи статьи.

Список литературы

- [1] И.М. Цидильковский. Термомагнитные явления в полупроводниках. Наука, М. (1960). 296 с.
- [2] П.С. Зырянов, М.И. Клиггер. Квантовая теория явлений электронного переноса в кристаллических полупроводниках. Наука, М. (1976). 480 с.
- [3] В.М. Аскеров. Электронные явления переноса в полупроводниках. Наука, М. (1985). 318 с.
- [4] Ф.Дж. Блат, П.А. Шредер, К.А. Фоилс, Д. Грейг. Термоэлектродвижущая сила металлов. Металлургия, М. (1980). 248 с.
- [5] Р.Н. Гуржи. УФН **94**, 4, 689 (1968); Р.Н. Гуржи, А.И. Копелиович. УФН **133**, 1, 33 (1981).
- [6] П.С. Зырянов, Г.И. Гусева. УФН **95**, 4, 565 (1968); R.T. Delves. Rept. Progr. Phys. **28**, 2, 249 (1965).
- [7] Л.Э. Гуревич, И.Я. Коренблит. ФТТ **6**, 3, 856 (1964).
- [8] И.Г. Ланг, С.Т. Павлов. ЖЭТФ **63**, 4(10), 1495 (1972).
- [9] I.I. Hanna, E.H. Sondheimer. Proc. Roy. Soc. **A239**, 1217, 247 (1957).
- [10] E.H. Sondheimer. Proc. Roy. Soc. **A234**, 1198, 391 (1956).
- [11] J.E. Parrott. Proc. Phys. Soc. **B70**, 6, 590 (1957).
- [12] J. Appel. Zs. Naturforcken **12a**, 5, 410 (1957); **13a**, 5, 386 (1958).
- [13] I.M. Tsidilkovskii, I.G. Kuleyev. Semicond. Sci. Technol. **11**, 5, 625 (1996).
- [14] И.Г. Кулеев. ФММ **87**, 6, 5 (1999); И.Г. Кулеев. ФТТ **41**, 10, 1753 (1999).